

徳島大学工学部 正員 荒木謙一

同 同 戸川一夫

徳島大学大学院 学生員 ○藤江義郎

広島県庁 田原克尚

1. まえがき

近年膨張性混和材の膨張特性を積極的に利用する方向として膨張材を添加したコンクリートの膨張を拘束することによってコンクリートにプレストレスを与えるいわゆるケミカルプレストレスコンクリートが考案され、矢板、ヒューム管など高耐力のケミカルプレストレス製品が実用化領域に達している。この場合、導入されたプレストレス量を正確に算定することがも、とも問題となり、それにはコンクリートのクリープ特性を知る必要がある。

膨張性混和材（以下 CSA と称す）を添加したコンクリートのクリープは普通のコンクリートにくらべ、膨張作用をもつエトリンジャイトの強度ならびに剛性がセメントの水和物より弱いため、大きくなることが予想される。その程度は、CSA の添加量、養生方法、導入されるプレストレスおよび導入時の材令などにより左右されると思われる。本研究は、上述の観点から CSA を添加したコンクリートについて、無添加のコンクリートと対比せながらそのクリープ特性を基礎的に研究しようとしたものである。

表-1 コンクリートの示方配合

2. 実験概要

セメントは普通ポルトランドセメントをもちいた。粗骨材は最大寸法を 20 mm とし徳島県産大麻石（硬質砂岩）を、細骨材は吉野川産川砂を使用した。膨張材は CSA（電気化学工業社製）を使用し、AE 減水剤としてガリス No.

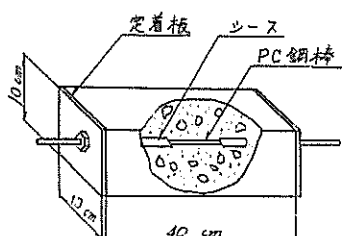
試験番号	鉄筋割合	セメント量	水セメント比	空気量	初期水温	初期水温	単位重量 (kg/m³)				混和材量
							W	C/S	S	G	
I-0	20	2.5	4	40	38	153	380	674	1100	—	0.95
I-11	20	2.5	4	40	38	153	380	674	1100	41.0	0.95
I-15	20	2.5	4	40	38	153	380	674	1100	57.0	0.95
I-17	20	2.5	4	40	38	153	380	674	1100	64.0	0.95
I-0.45	20	2.5	4	45	39	171	380	682	1088	—	0.95
I-45.45	20	2.5	4	45	39	171	380	682	1088	57.0	0.95
I-0.51	20	2.5	4	50	40	190	380	688	1017	—	0.95
I-0.52	20	2.5	4	50	40	190	380	688	1017	57.0	0.95

5%A を使用した。表-1 に各種コンクリートの配合を示す。クリープ供試体ならびに乾燥収縮測定用供試体の作製には $10 \times 10 \times 40$ cm の鋼製型枠を使用し、その断面中心にあらかじめ中 14 mm のシースを配置し、シースの中に $\phi 12$ mm (鉄筋比 $\rho = 1.1\%$) の鋼棒を挿入してコンクリートを打ち込んだ。また、弾性係数、および、圧縮強度試験用供試体の型枠は中 10×20 cm の円柱型枠を使用し、その中心位置に脱型後中 11 mm (鉄筋比 $\rho = 1.1\%$) の鋼棒を挿入するための中 12 mm の中空真ちゅう管を配置し、コンクリートを打ち込んだ。各供試体はコンクリート打ち込み後材令 1 日で脱型し、PC 鋼棒をセットしてある供試体の両端部に定着板 ($10 \times 10 \times 15$ cm) を取りつけ、ナットで固定した。ナットの締めつけは脱型時の原長を保証する程度におこなった。圧縮強度試験用供試体も同様にナットで膨張を拘束して養

表-2 PC 鋼棒の機械的性質

公称直径 (mm)	φ 48 (mm)	引張荷重 (kN)	引張強度 (kg/mm²)	引張率 (%)	引張速度 (mm/min)
φ 11	10.10	1450	143	12.7	7.5
φ 12	11.16	1320	142	12.9	8.0

図-1 クリープ測定用供試体



生を開始した。養生はクリーフ試験

験をおこなう載荷時まで水中養生（水温 $20^{\circ}\text{C} \pm 2\text{deg}$ ）とした。所定の材令に達したなら PC オイルジャッキによりその時点の圧縮強度の約 20 % のクリープストレスを導入し、温度 $20^{\circ}\text{C} \pm 2\text{deg}$ 、湿度 60 % の恒温恒湿室内で空中養生をおこなうクリーフ試験を開始した。

なお、乾燥収縮測定期供試体は、載荷時材令までクリーフ試験用供試体とまったく同一の拘束条件で水中養生し、クリーフ実験開始とともに PC 鋼棒をぬきとつて非載荷の状態で空中養生し、乾燥収縮を測定した。図-1 にクリーフ試験用供試体を示す。鋼材のレタクセーションとコンクリートクリーフによるクリープストレスの減少をなくすため、載荷時材令からかぞえて 1, 3, 5, 7, 14, 28, 42, 56, 91, 112 PC ジャッキの荷重履歴で初期の持続荷重を常時保持できるように PC 鋼棒をぬきなおして荷重調整をおこなった。

3. 本実験結果とその考察

表-3 に本実験結果を示す。

1) CSA 添加率の影響

図-2 に CSA 添加率を変化させた場合の単位応力あたりのクリーフ量と載荷期間との関係を示す。また、図-3 に推定最終クリーフ係数を示す。CSA を添加したコンクリートは CSA 無添加のコンクリートと比較して材令 257 日の時点で大約 2 倍のクリーフ量を示している。なお、CSA 添加率の差によるクリーフ量の差異はあまりみられない。これは自由膨張する CSA コンクリートとちがい、拘束された供試体ではコンクリートの内部組織が密になり、強度低下があまりみられなかつたことによるものと思われる。この結果は長瀬らの報告とほぼ同様の傾向を示している。推定最終クリーフ係数については CSA コンクリートが普通コンクリートの約 2 倍になっている。

2) 載荷時材令の影響

図-4 に単位応力あたりのクリーフ量と載荷期間との関係を示す。また、図-5 に推定最終クリーフ係数を示す。

表-3. クリーフ試験結果

清日	CSA 添加率 (%)	水中養 生期間 (日)	初期強度 E ₀ (kg/cm ²)	初期強度 E ₀ (kg/cm ²)	載荷強度 E _c (kg/cm ²)	載荷強度 E _c (kg/cm ²)	載荷期間 D (日)	載荷期間 D (日)	載荷期間 D (日)	載荷期間 D (日)	載荷期間 D (日)	載荷期間 D (日)
0-14	0	14	40	42.8 × 10 ⁴	31.1 × 10 ⁴	510	1.02	5.1 × 10 ⁻⁴	1.2 × 10 ⁻⁴	1.6	1.6	1.6
11-14	11	14	40	37.2	34.9	325	71	2.5	2.9	3.0	3.2	3.2
15-14	15	14	40	37.9	34.1	330	66	9.0	2.9	3.1	3.3	3.3
17-14	17	14	40	37.8	33.6	326	85	8.4	3.0	2.8	3.4	3.4
0-3	0	3	40	32.6	24.6	271	54	8.8	3.4	2.6	2.7	2.7
15-3	15	3	40	34.2	31.1	269	53	12.7	3.2	4.0	4.0	4.0
0-28	0	28	40	31.9	30.5	350	110	4.8	3.3	1.4	1.4	1.4
15-28	15	28	40	31.6	31.1	137	57	8.8 ^a	3.2	2.7 ^b	2.9	2.9
0-45-14	0	14	45	35.4	32.2	314	63	6.4 ^a	3.1	2.1 ^b	2.3	2.3
0-50-14	0	14	50	35.1	31.9	280	58	10.0 ^a	3.1	3.2 ^b	3.2	3.2
15-45-14	15	14	45	34.7	35.4	258	52	9.0 ^a	2.8	3.5 ^b	3.7	3.7
15-50-14	15	14	50	34.9	34.1	230	46	14.5 ^a	2.9	4.9 ^b	4.7	4.7

1) 載荷期間引当る単位クリーフ量 (kg/cm²・日)

2) 載荷期間 200 日における単位クリーフ量 (kg/cm²・日)

ただし、推定クリーフ係数は式 $\alpha = \frac{E_0}{E_c}$ で、初期強度の材料 (CSA 無添加) を用いて最小自乗法により求められたもの。式 $\alpha = \frac{E_0}{E_c}$ を導入して最終クリーフ量を推定 (算定) した。

図-2. CSA 添加量を変化させた場合の単位応力あたりのクリーフ量と載荷期間との関係

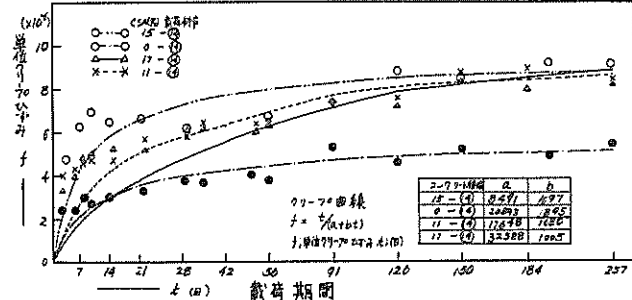
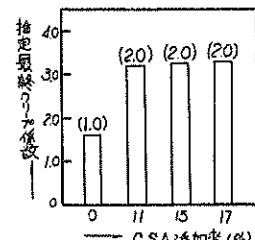


図-3. CSA 添加率と推定最終クリーフ係数との関係



ただし、()内の値は CSA 無添加のコンクリートに対する各 CSA コンクリートとの最終クリーフ係数の比を示す。

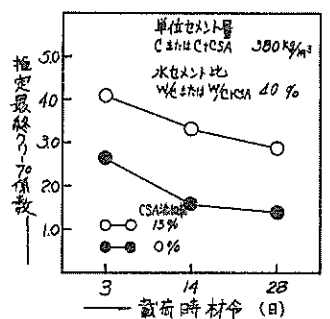
図-4 に単位応力あたりのクリーフ量と載荷期間との関係を示す。また、図-5 に推定最終クリーフ係数を示す。

γ_0 係数と載荷時材令との関係を示す。

推定最終クリーケー係数と載荷期間との関係は普通コンクリート、CSAコンクリートとも同様の傾向を示す。

すなわち、載荷時材令が若いほど推定最終クリーケー係数は大きくなっている。材令3日で載荷したコンクリートの推定最終クリーケー係数は材令28日で載荷したコンクリートの推定最終クリーケー係数に比較し、CSAコンクリートで約1.4倍、普通コンクリートで約1.9倍を示した。

図-5 載荷時材令と推定最終クリーケー係数との関係



しかし、載荷時材令14日のクリーケー係数は28日のクリーケー係数よりわずかに大きくなっているにすぎない。

また、CSAコンクリートと普通コンクリートとの推定最終クリーケー係数の比は、載荷時材令3日で約1.5倍、材令14日で約2倍、材令28日で約2倍となつてゐる。載荷時材令が大きくなると両者のクリーケー係数の比が大きくなるのは、CSAコンクリートと普通コンクリートとの強度差が若材令ではあまり生じないが、材令が大きくなるにつれて強度差があらわれてくることに原因があると思われる。

図-6は推定最終クリーケー係数と圧縮強度との関係をプロットしたものである。圧縮強度が大きいクリーケー係数は小さくなつておき、同一圧縮強度においてはCSAコンクリートのクリーケー係数は普通コンクリートの大約1.5倍程度である。同一強度の場合でもCSAコンクリートのクリーケー量が大きくなるということは、エトリニジカイトの塑性変形量がセメント水和物の塑性変形量よりも大きいこ

図-4 単位応力あたりのクリーケー量と載荷期間との関係

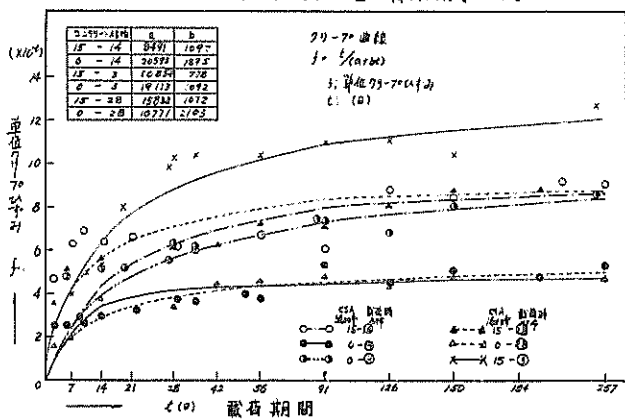


図-6 推定最終クリーケー係数と圧縮強度との関係

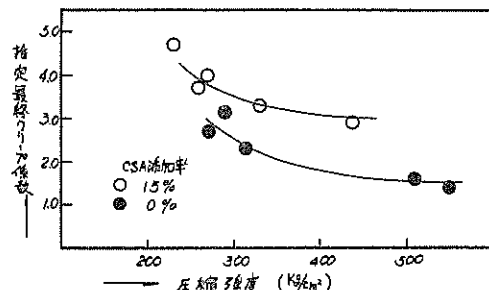
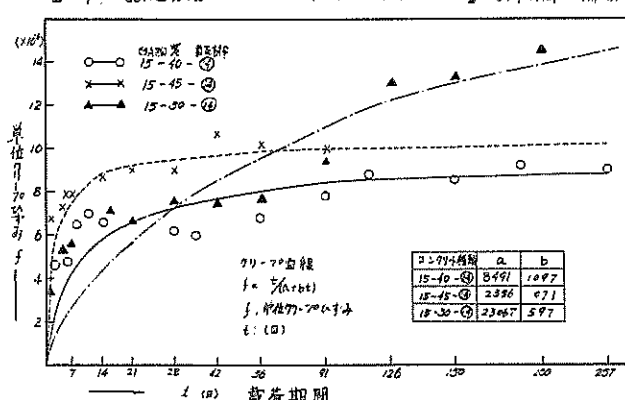


図-7 CSA混入コンクリートの単位応力あたりのクリーケー量と載荷期間との関係



とを示しているように思われる。

3) 単位水量の影響

図-7と図-8とはそれぞれ普通コンクリートとCSAコンクリートとの単位水量を変化させた場合の単位応力あたりのクリーグ量と載荷期間との関係を示す。図-9は推定最終クリーグ係数と単位水量との関係を示す。CSA

コンクリート、普通コンクリートとともに単位水量はクリーグ量に影響し、単位水量がまじめ（水セメント比が大きくなる）クリーグ量ならびに推定最終クリーグ係数は増加している。本実験範囲内では単位水量が10%増加すれば推定最終クリーグ係数はCSAコンクリート、普通コンクリートともには0.4程度増加している。単位水量の増加によってほぼ同程度のクリーグ量の増大がみられたことは、エトリンジサイトの塑性変形特性がCSAコンクリートのクリーグ特性に直接関係していることを示唆していると考えられる。

4. 総括

CSAコンクリートのクリーグは一般にCSA無添加の普通コンクリートよりも大きくなると推定されるが、単位セメント量380kg/m³、スランプ2.5cmのかたわりコンクリートを対象とした本実験の範囲内で実験結果を要約するとつきのようになる。

- 1) CSAコンクリートの圧縮クリーグ、および、クリーグ係数はCSA無添加の普通コンクリートにくらべ大きくなり、同一載荷材令で1.6～2倍の大きさを示した。しかし、CSA添加率の相違によるクリーグ係数の差はあまりみられなかった。
- 2) CSAコンクリートの圧縮クリーグ、および、クリーグ係数は普通コンクリートと同様に載荷時間が遅むにつれて徐々に小さくなり、また、圧縮強度の増加とともに小さくなる。同一圧縮強度の場合、CSAコンクリートの推定最終クリーグ係数は普通コンクリートの大約1.5倍を示した。
- 3) CSAコンクリートのクリーグ特性はエトリンジサイトの塑性変形特性に直接関係していると考えられる。

5. 参考文献

- 1) 長瀬重義ほか「膨張セメントコンクリートのクリーグ性状」

工学会第25回年次学術講演会講演集 第5部 (1970) P.169～170

図-8 普通コンクリートの単位応力あたりのクリーグ量と載荷期間との関係

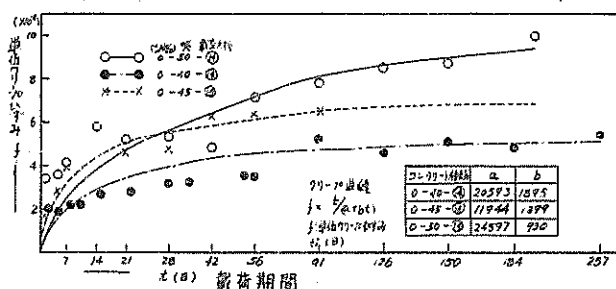


図-9 推定最終クリーグ係数と単位水量との関係

